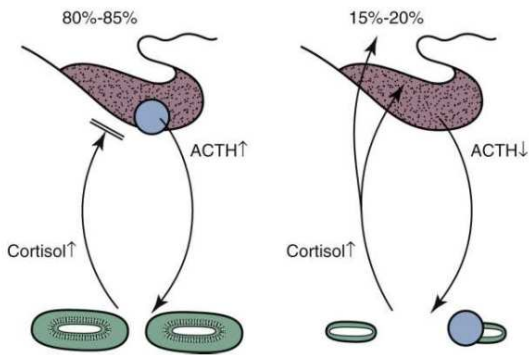
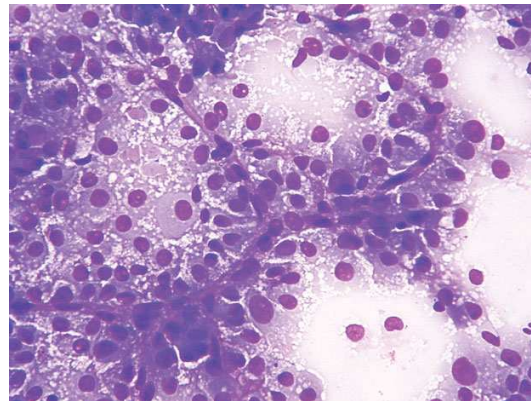
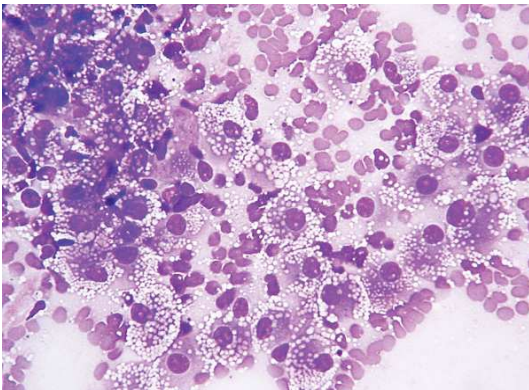


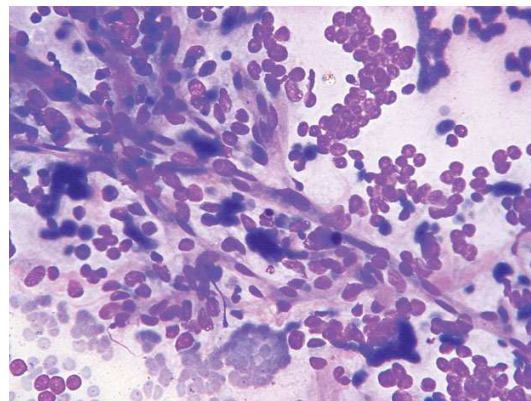
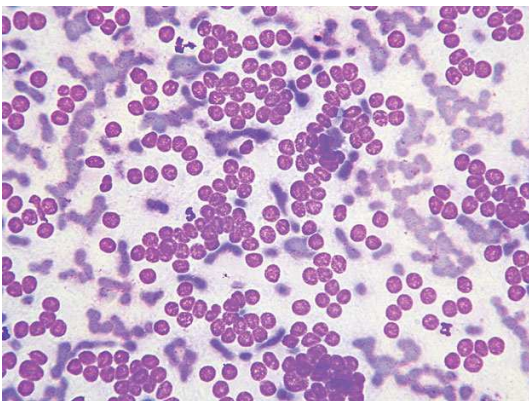
## ANEXOS



**Figura 1:** Esquema simplificado del eje hipofisis-glándula adrenal en perros con HAC pituitario y con un tumor adrenocortical funcional. Se corresponden con las imágenes de la izquierda y de la derecha respectivamente (Ettinger y Feldman, 2010).

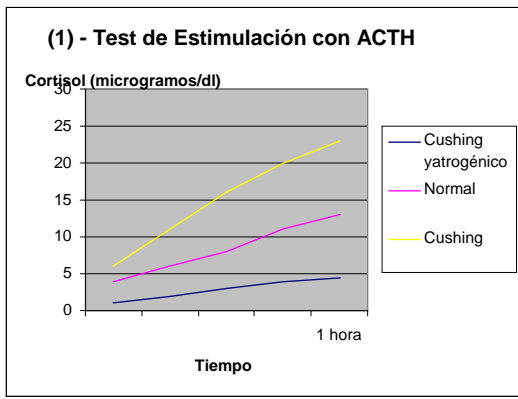


**Figura 2a y 2b:** Citología ecoguiada de la corteza adrenal obtenida mediante la técnica PAF. La muestra presenta una celularidad escasa, atípica y con un bajo ratio núcleo – citoplasma. El citoplasma es basófilo y marcadamente vacuolado. Los núcleos son irregulares, periféricos y con una cromatina densa. A veces, se pueden apreciar células precursoras de la hematopoyesis (Bertazzolo y col., 2014). Se diagnosticó un tumor en la corteza adrenal.

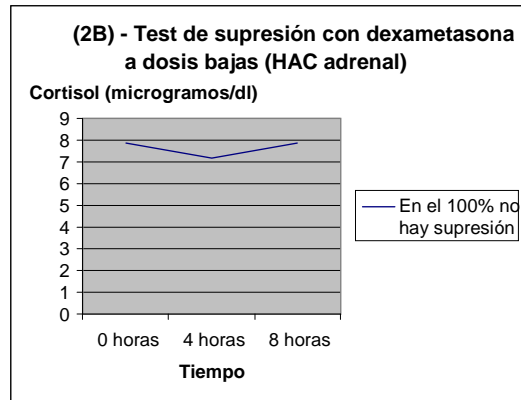
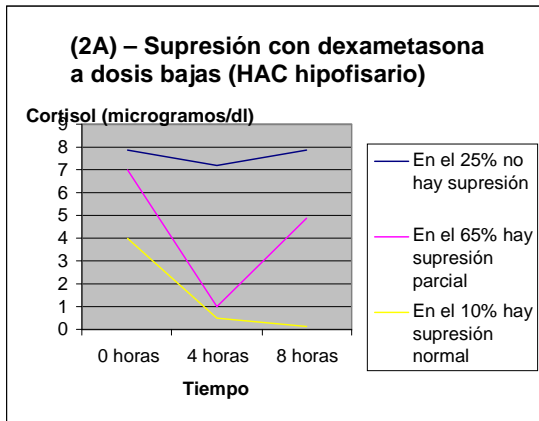


**Figura 3a y 3b:** Citología ecoguiada de la médula adrenal, obtenida mediante la técnica PAF.

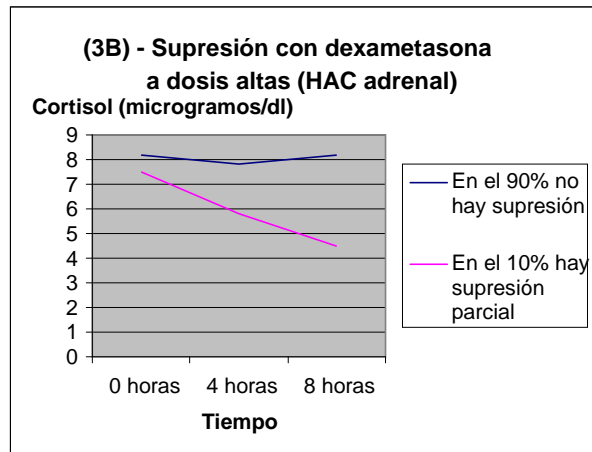
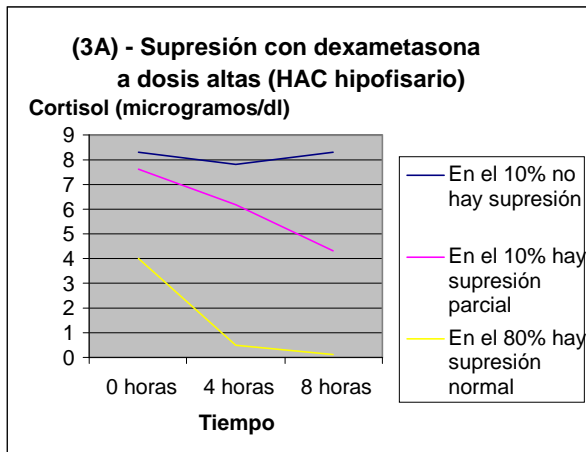
La arquitectura general muestra una gran cantidad de núcleos uniformes generalmente desnudos, granulados y en un fondo basófilo. El ratio núcleo – citoplasma es alto, a diferencia de los tumores corticales. Poseen un citoplasma azul claro, ligeramente granuloso. El núcleo es redondo u ovalado con una cromatina fina (Bertazzolo y col., 2014). Se diagnosticó un feocromocitoma, tumor en la médula adrenal.



**Gráfica 1:** Test de Estimulación con ACTH.

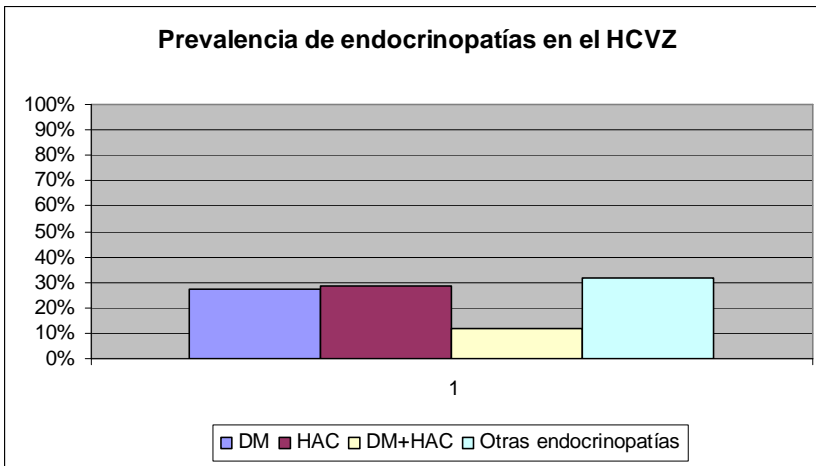


**Gráfica 2a y 2b:** Test de Supresión con Dexametasona a Dosis Bajas: patrones de supresión en perros normales y perros con HAC hipofisario y adrenal.

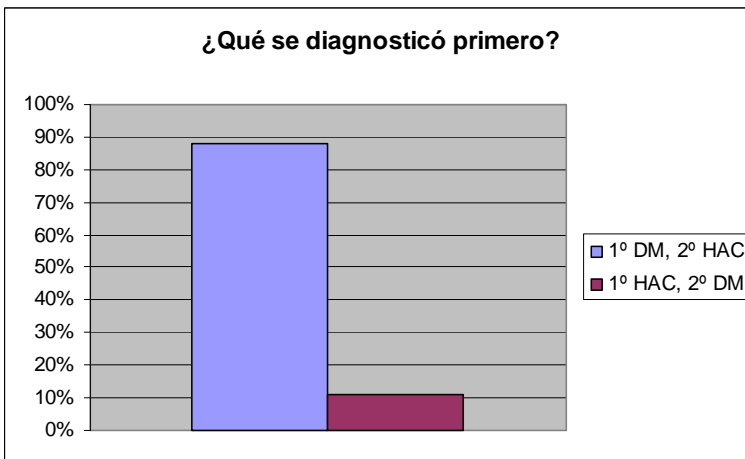


**Gráfica 3a y 3b:** Test de supresión con dexametasona a dosis altas: patrones de supresión en perros con HAC hipofisario y adrenal.

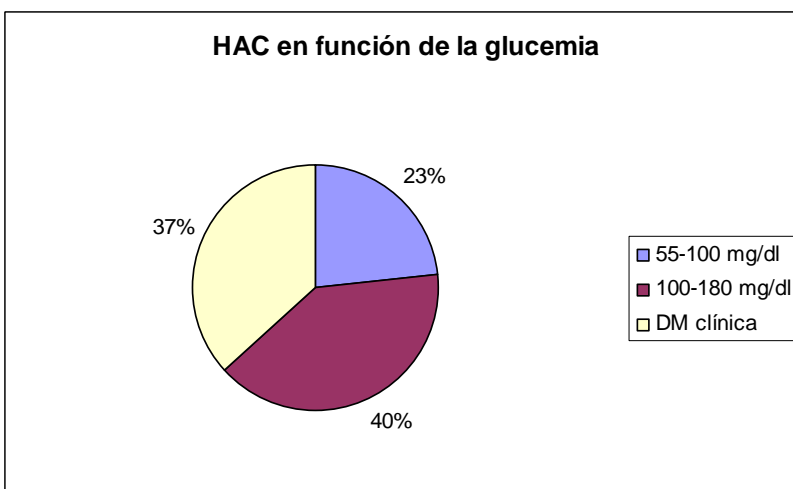
Las gráficas 1, 2a, 2b, 2c, 3a y 3b han sido elaboradas en base a datos de *Melián C., Pérez M. D., Peterson M. E, Díaz M. y Kooistra H. 2008. pp. 309, 310 y 314* respectivamente. En: Manual de endocrinología de pequeños animales. Multimédisca Ediciones Veterinarias, Barcelona, España.



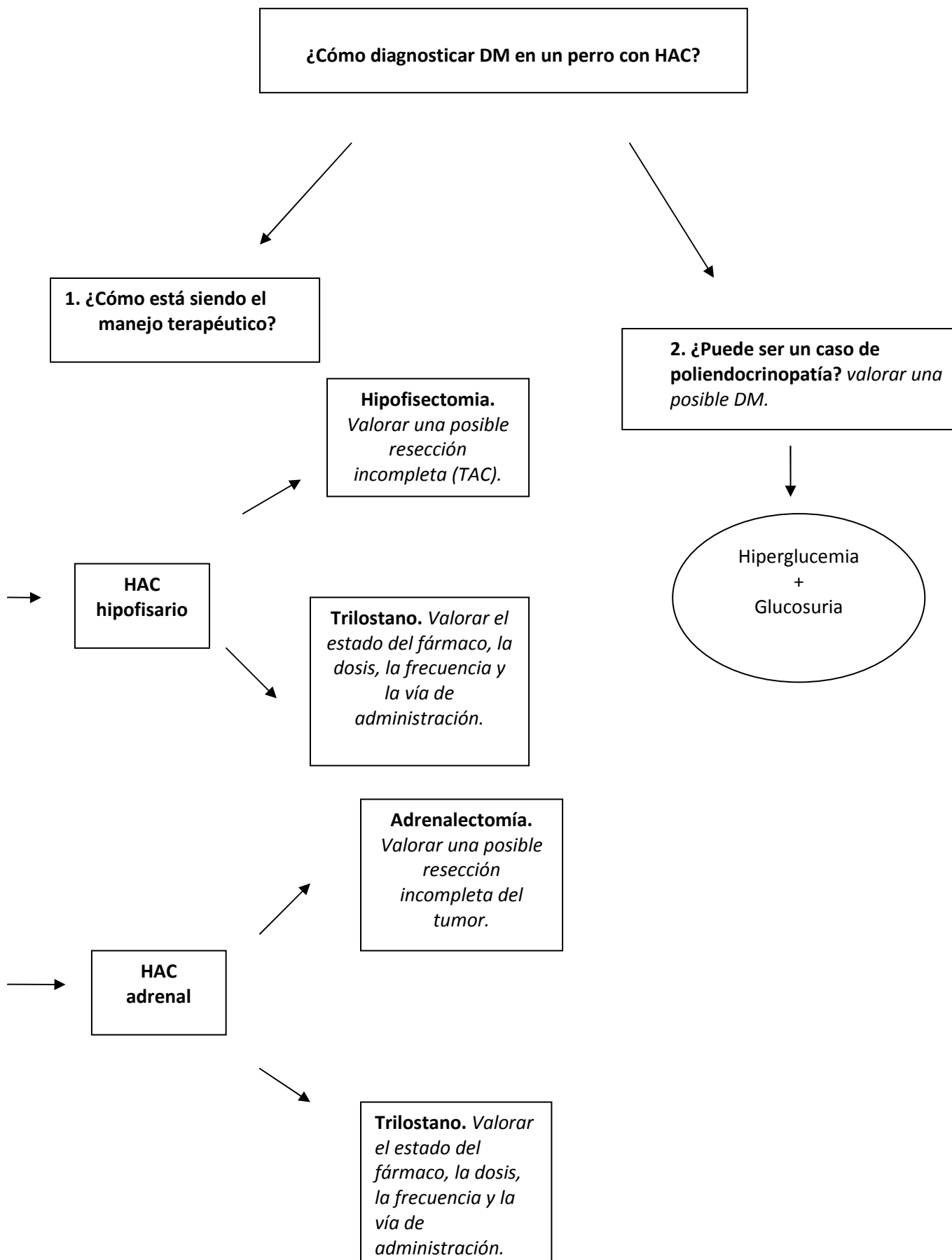
**Gráfica 4:** Prevalencia de presentación de enfermedades endocrinas en la consulta de Endocrinología del Hospital Veterinario de la Universidad de Zaragoza.



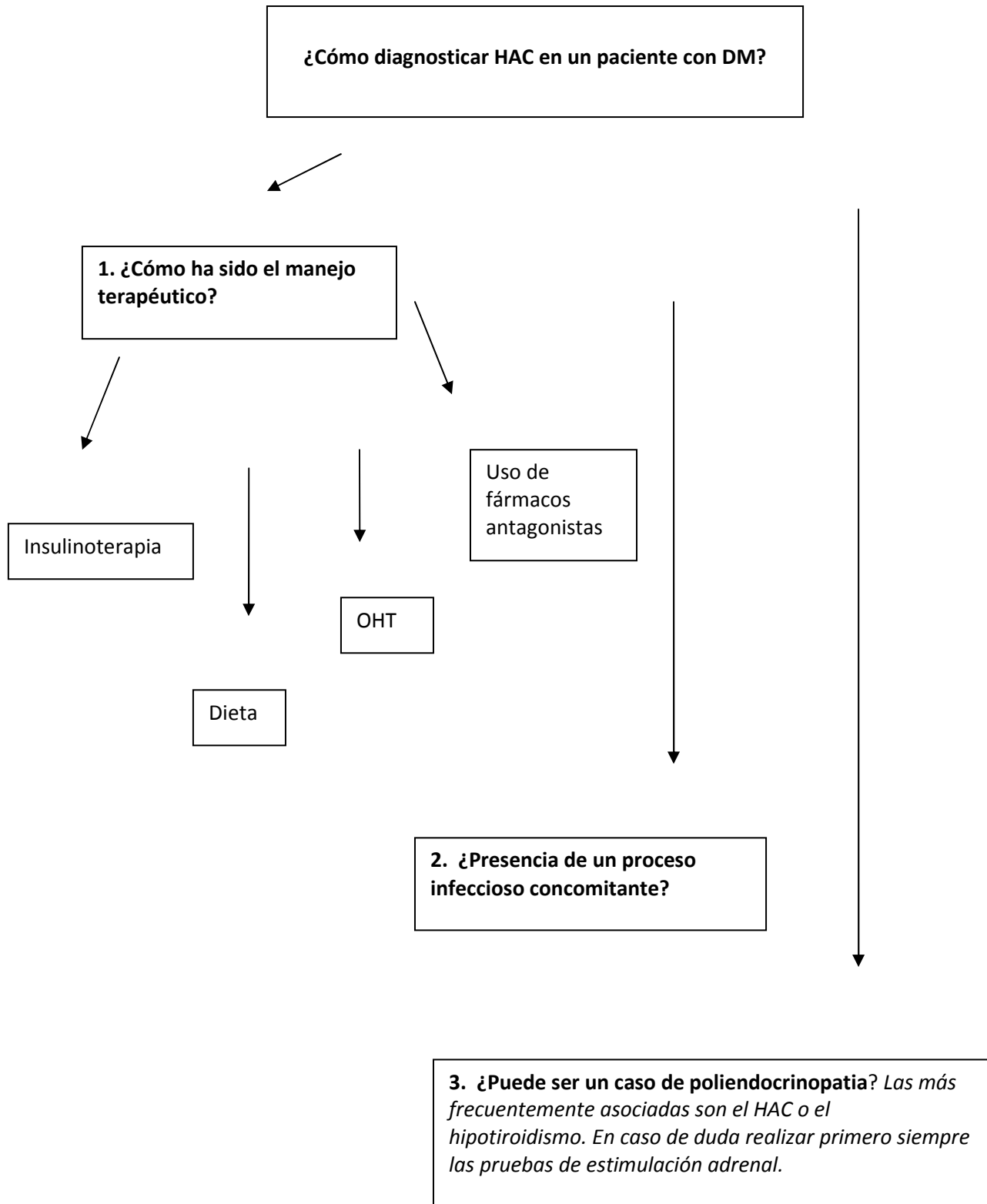
**Gráfica 5:** Distribución de los animales con DM +HAC en función de la enfermedad que se diagnosticó en primer lugar.



**Gráfica 6:** Categorización de los enfermos de HAC en tres grupos, en función de los niveles de glucosa sanguínea en el momento del diagnóstico.



Árbol de decisiones 1: Permite diagnosticar DM en un paciente con HAC.



Árbol de decisiones 2: Permite diagnosticar HAC en un paciente con DM.